

D REMPI-Spektren

D.1 REMPI-Spektren von Anisol-h8, Anisol-d3 und Anisol-d8

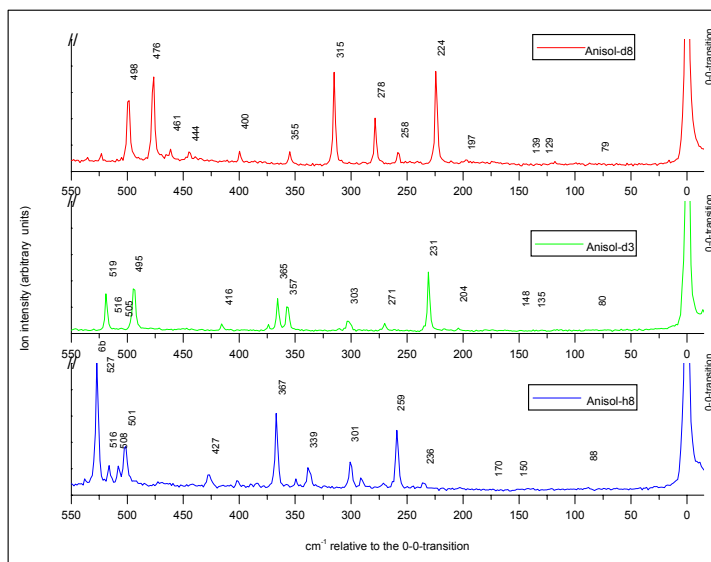


Abbildung 8-2: REMPI-Spektren von Anisol-h8, Anisol-d3 und Anisol-d8 im Bereich von 550 cm^{-1} bis zum 0-0-Übergang.

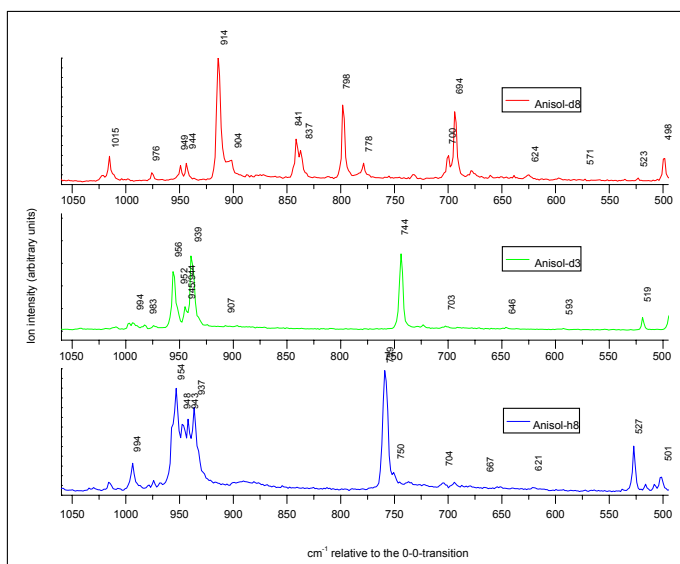


Abbildung 8-3: REMPI-Spektren von Anisol-h8, Anisol-d3 und Anisol-d8 im Bereich von 1060 cm^{-1} bis 490 cm^{-1} relativ zum jeweiligen 0-0-Übergang.

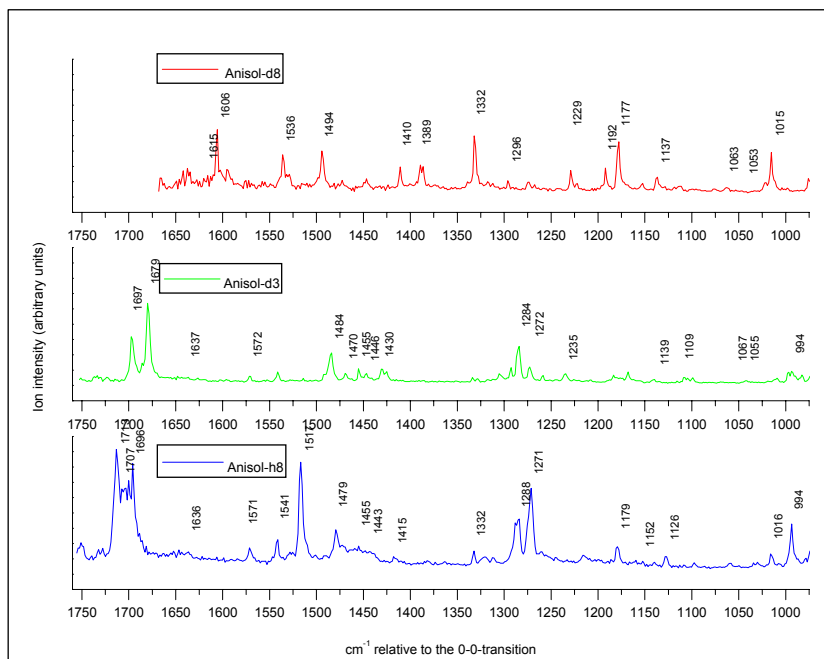


Abbildung 8-4: REMPI-Spektren von Anisol-h8, Anisol-d3 und Anisol-d8 im Bereich von 1760 cm^{-1} bis 975 cm^{-1} relativ zum jeweiligen 0-0-Übergang.

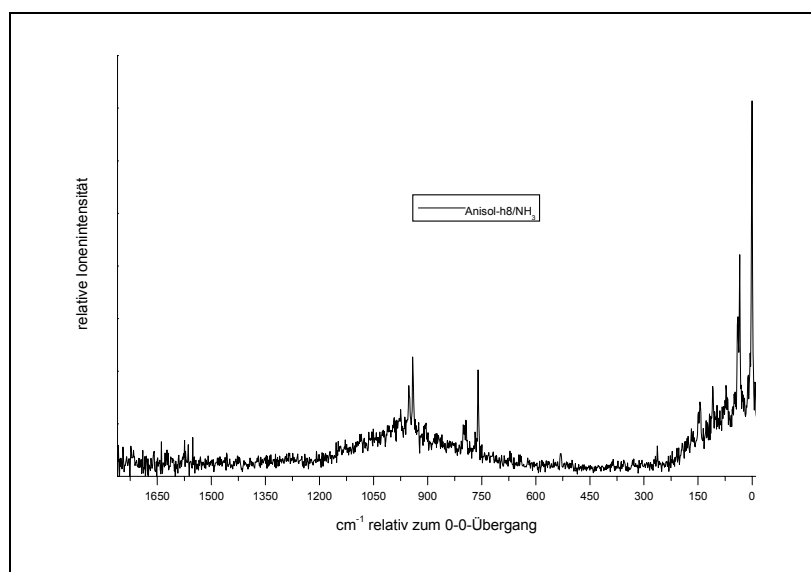
D.2 REMPI-Spektren von Anisol-h8/ NH₃

Abbildung 8-5: REMPI-Spektrum von Anisol-h8/NH₃ im Bereich von 1700 cm⁻¹ bis 0 cm⁻¹ relativ zum 0-0-Übergang.

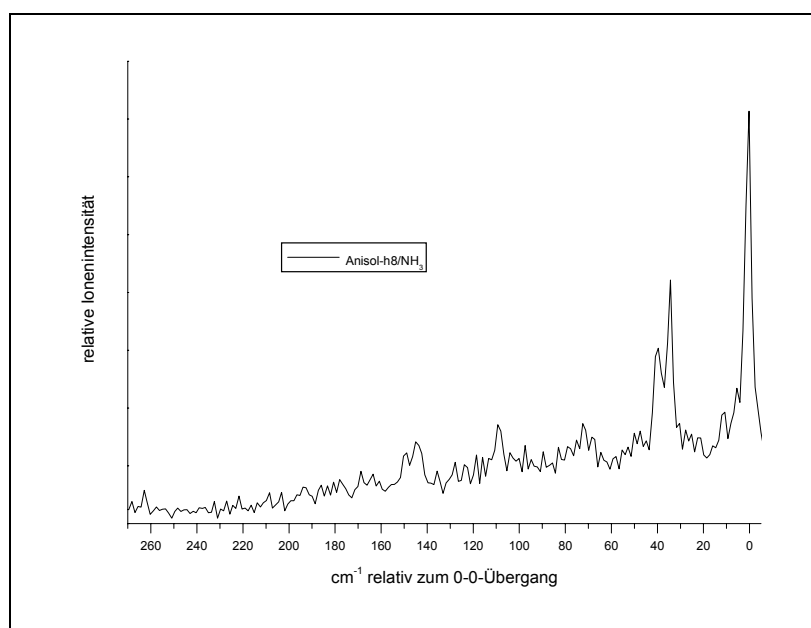


Abbildung 8-6: REMPI-Spektrum von Anisol-h8/NH₃ im Bereich von 270 cm⁻¹ bis 0 cm⁻¹ relativ zum 0-0-Übergang.

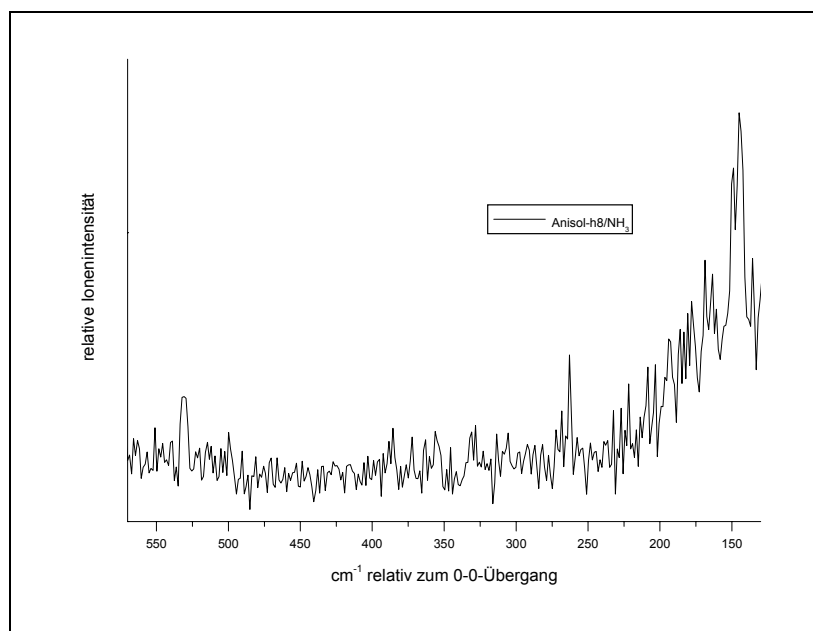


Abbildung 8-7: REMPI-Spektrum von Anisol-h8/NH₃ im Bereich von 570 cm⁻¹ bis 130 cm⁻¹ relativ zum 0-0-Übergang.

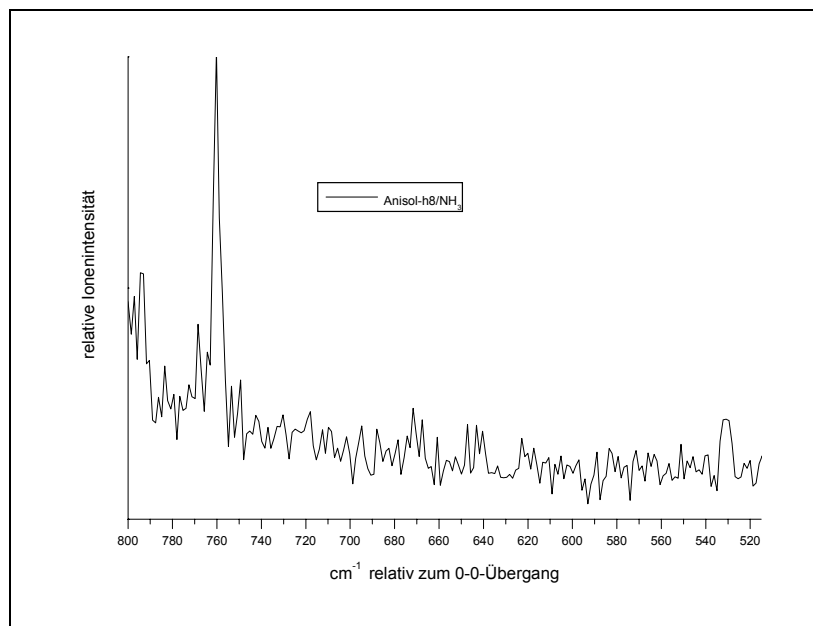


Abbildung 8-8: REMPI-Spektrum von Anisol-h8/NH₃ im Bereich von 800 cm⁻¹ bis 510 cm⁻¹ relativ zum 0-0-Übergang.

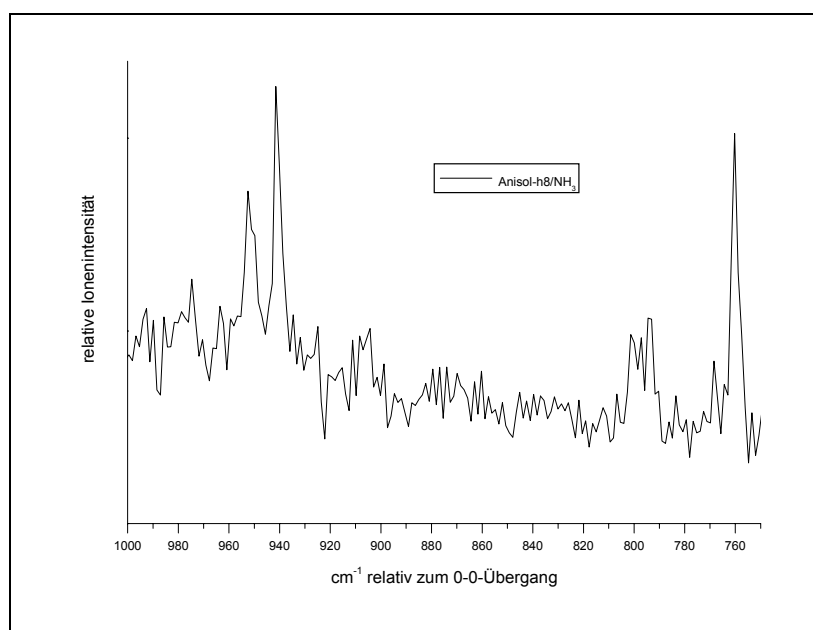


Abbildung 8-9: REMPI-Spektrum von Anisol-h8/NH₃ im Bereich von 1000 cm⁻¹ bis 750 cm⁻¹ relativ zum 0-0-Übergang.

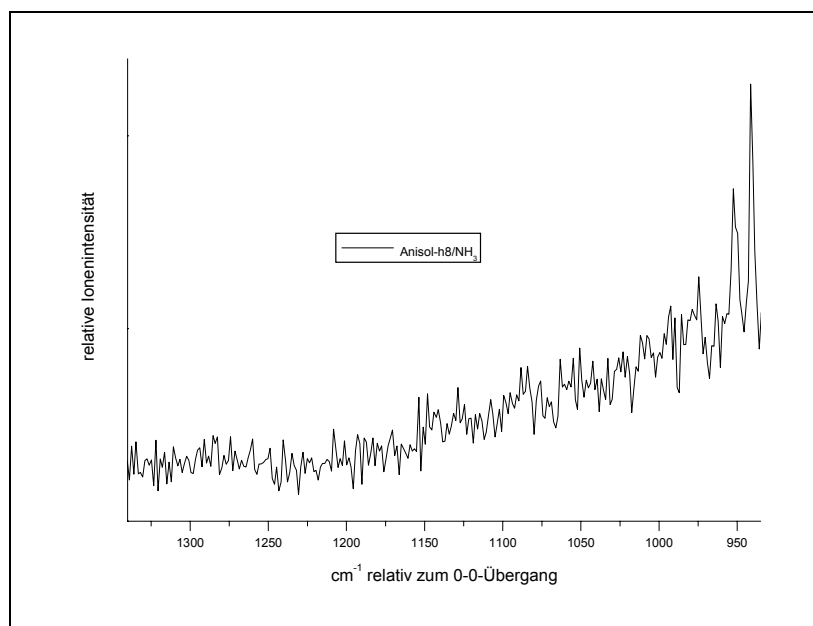


Abbildung 8-10: REMPI-Spektrum von Anisol-h8/NH₃ im Bereich von 1350 cm⁻¹ bis 920 cm⁻¹ relativ zum 0-0-Übergang.

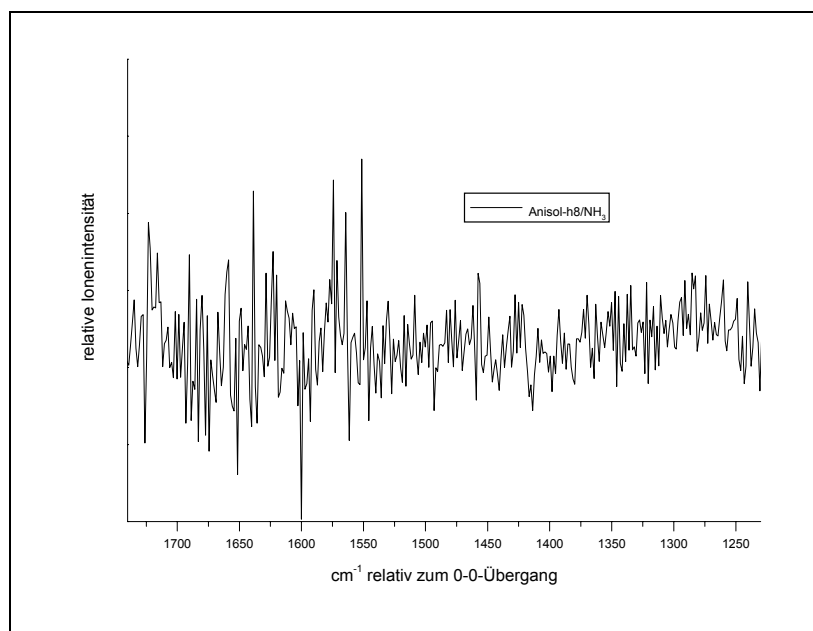


Abbildung 8-11: REMPI-Spektrum von Anisol-h8/NH₃ im Bereich von 1750 cm⁻¹ bis 1200 cm⁻¹ relativ zum 0-0-Übergang.

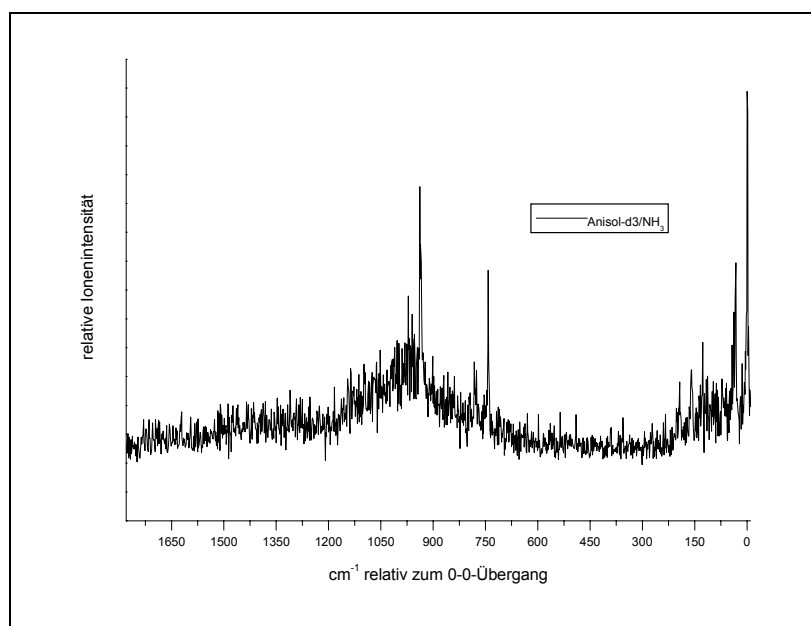
D.3 REMPI-Spektren von Anisol-d3/ NH₃

Abbildung 8-12: REMPI-Spektrum von Anisol-d3/NH₃ im Bereich von 1780 cm⁻¹ bis 0 cm⁻¹ relativ zum 0-0-Übergang.

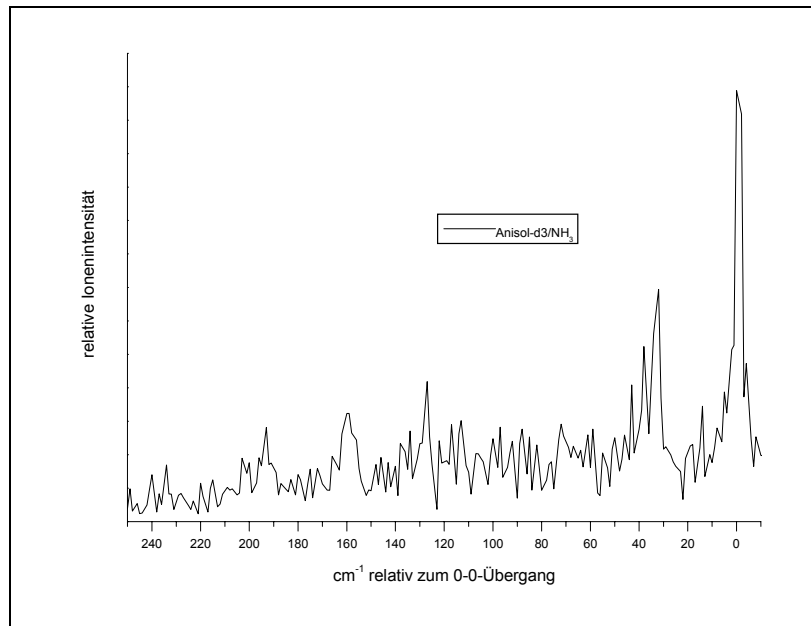


Abbildung 8-13: REMPI-Spektrum von Anisol-d3/NH₃ im Bereich von 250 cm⁻¹ bis -10 cm⁻¹ relativ zum 0-0-Übergang.

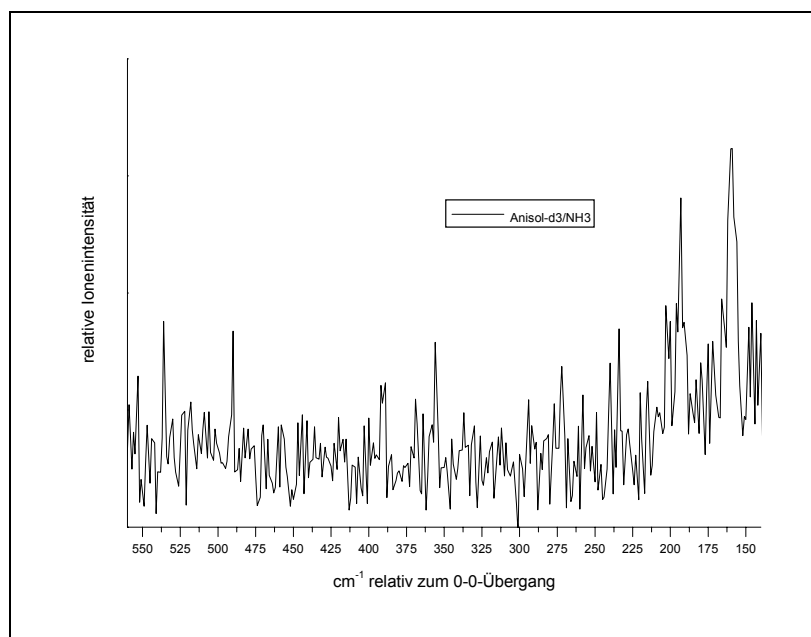


Abbildung 8-14: REMPI-Spektrum von Anisol-d3/NH₃ im Bereich von 560 cm⁻¹ bis 140 cm⁻¹ relativ zum 0-0-Übergang.

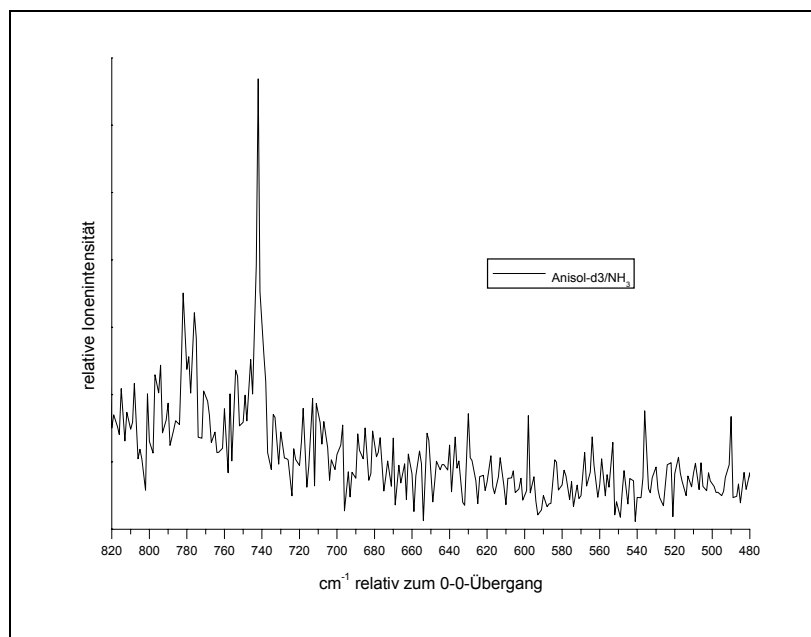


Abbildung 8-15: REMPI-Spektrum von Anisol-d3/NH₃ im Bereich von 820 cm⁻¹ bis 480 cm⁻¹ relativ zum 0-0-Übergang.

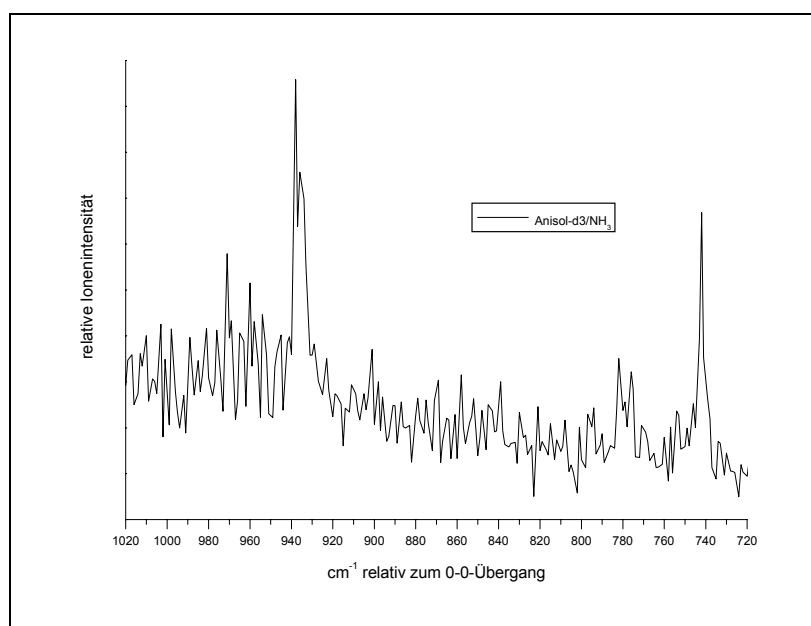


Abbildung 8-16: REMPI-Spektrum von Anisol-d3/NH₃ im Bereich von 1020 cm⁻¹ bis 720 cm⁻¹ relativ zum 0-0-Übergang.

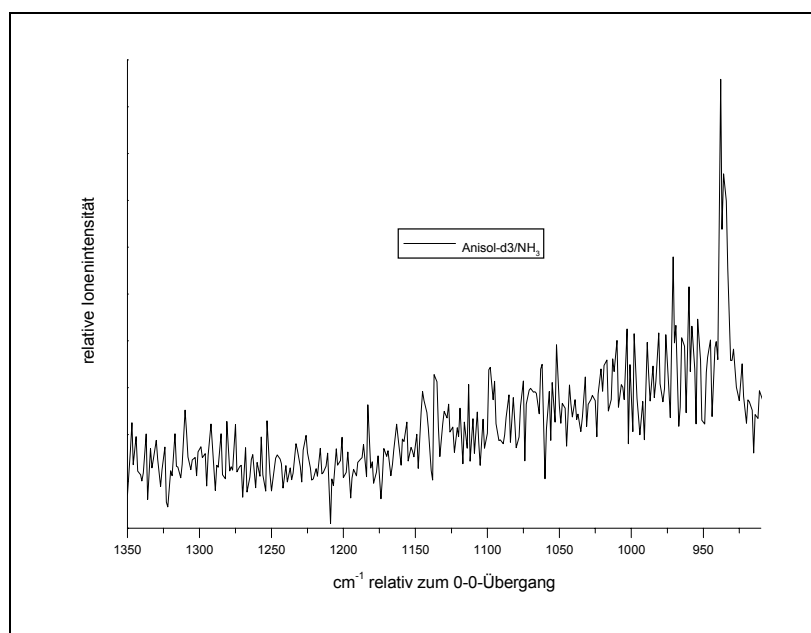


Abbildung 8-17: REMPI-Spektrum von Anisol-d3/NH₃ im Bereich von 1350 cm⁻¹ bis 910 cm⁻¹ relativ zum 0-0-Übergang.

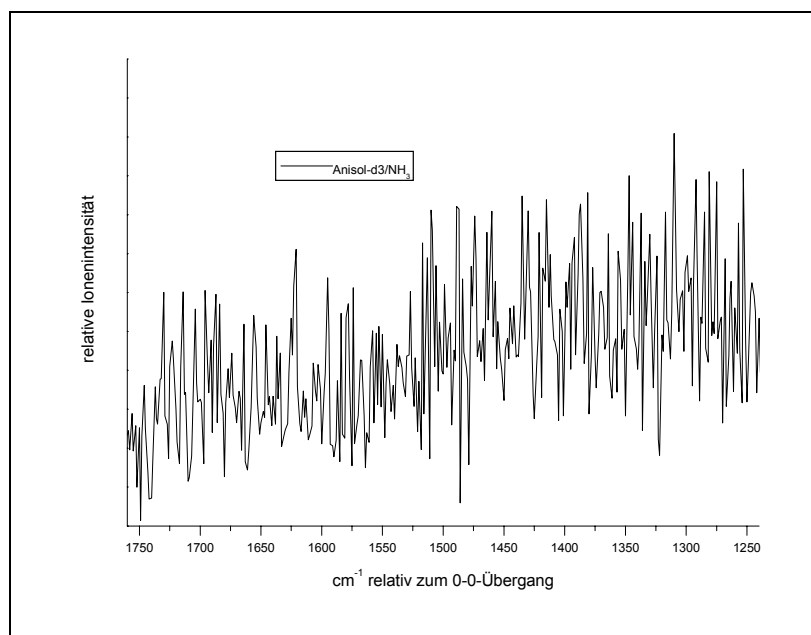


Abbildung 8-18: REMPI-Spektrum von Anisol-d3/NH₃ im Bereich von 1760 cm⁻¹ bis 1240 cm⁻¹ relativ zum 0-0-Übergang.

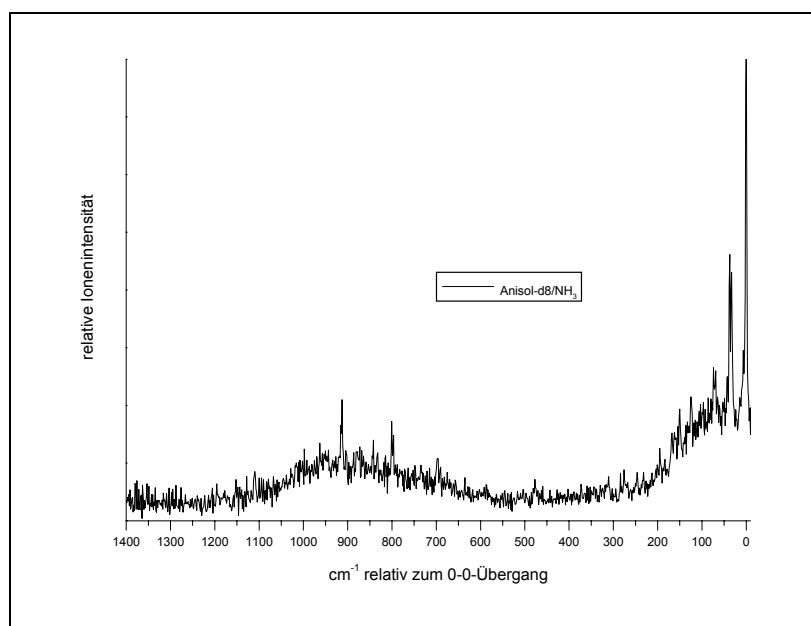
D.4 REMPI-Spektren von Anisol-d8/NH₃

Abbildung 8-19: REMPI-Spektrum von Anisol-d8/NH₃ im Bereich von 1400 cm⁻¹ bis 0 cm⁻¹ relativ zum 0-0-Übergang.

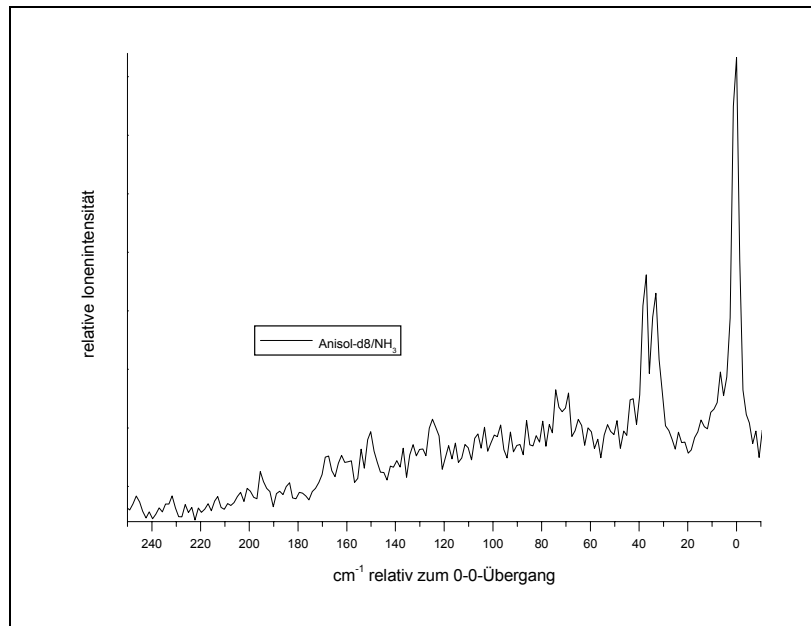


Abbildung 8-20: REMPI-Spektrum von Anisol-d8/NH₃ im Bereich von 250 cm⁻¹ bis -10 cm⁻¹ relativ zum 0-0-Übergang.

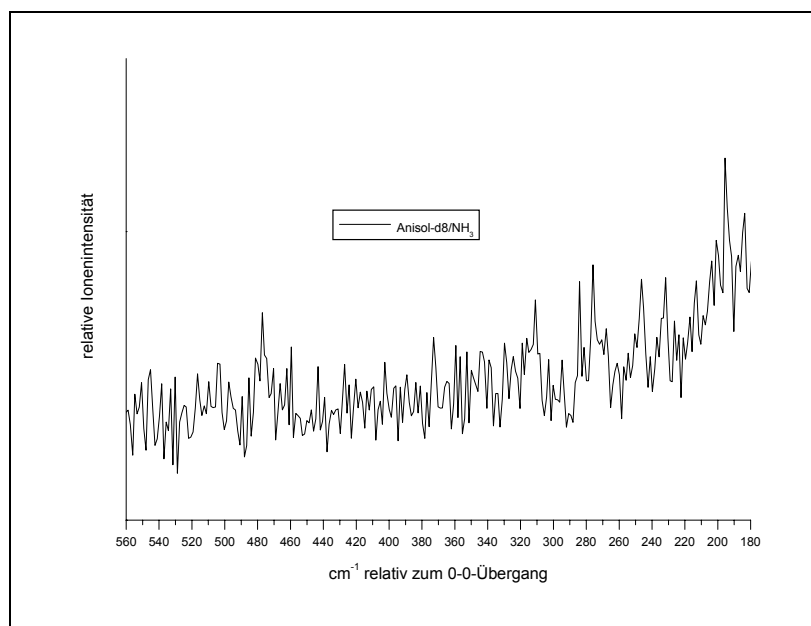


Abbildung 8-21: REMPI-Spektrum von Anisol-d8/NH₃ im Bereich von 560 cm⁻¹ bis 180 cm⁻¹ relativ zum 0-0-Übergang.

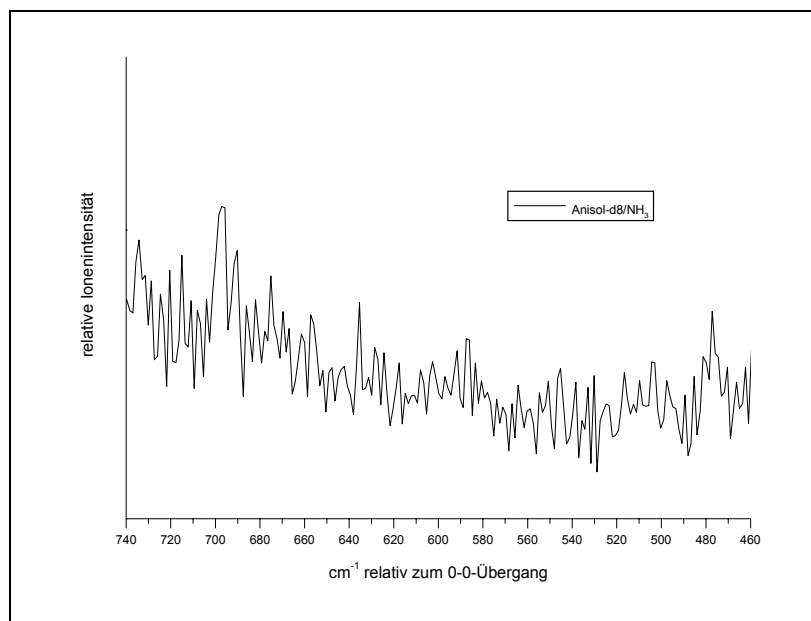


Abbildung 8-22: REMPI-Spektrum von Anisol-d8/NH₃ im Bereich von 740 cm⁻¹ bis 460 cm⁻¹ relativ zum 0-0-Übergang.

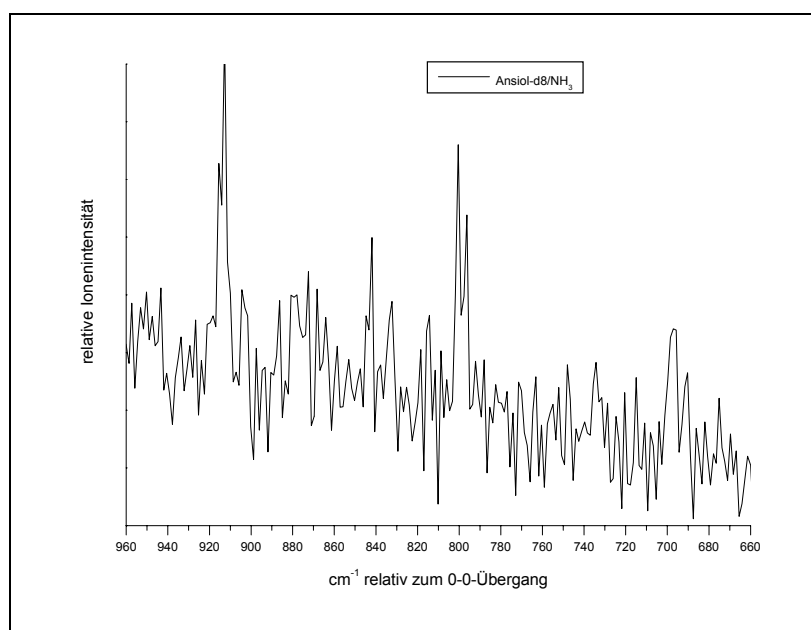


Abbildung 8-23: REMPI-Spektrum von Anisol-d8/NH₃ im Bereich von 960 cm⁻¹ bis 660 cm⁻¹ relativ zum 0-0-Übergang.

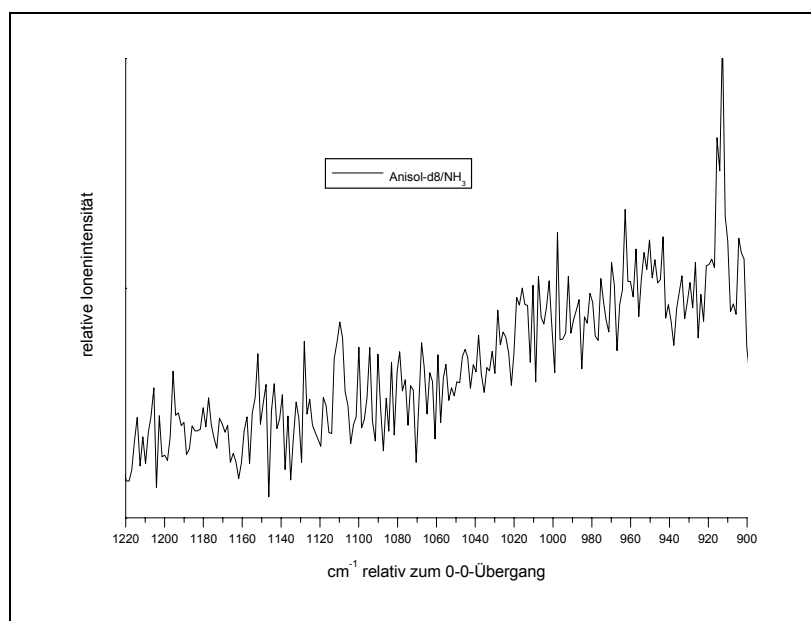


Abbildung 8-24: REMPI-Spektrum von Anisol-d8/NH₃ im Bereich von 1220 cm⁻¹ bis 900 cm⁻¹ relativ zum 0-0-Übergang.

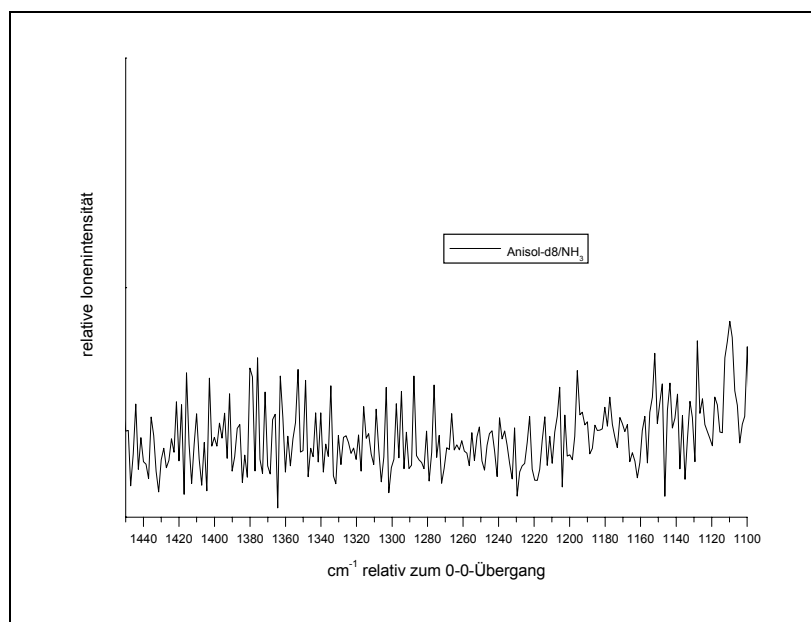


Abbildung 8-25: REMPI-Spektrum von Anisol-d8/NH₃ im Bereich von 1450 cm⁻¹ bis 1100 cm⁻¹ relativ zum 0-0-Übergang.

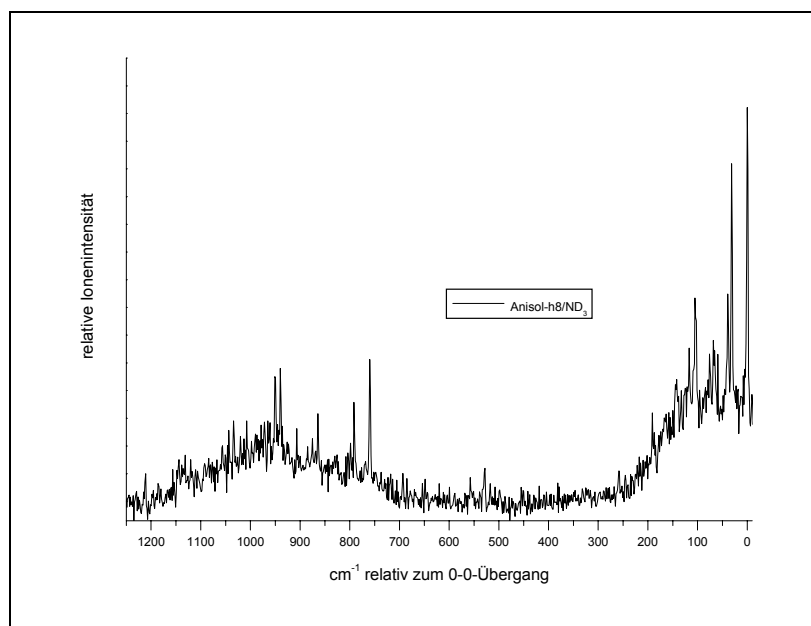
D.5 REMPI-Spektren von Anisol-h8/ND₃

Abbildung 8-26: REMPI-Spektrum von Anisol-h8/ND₃ im Bereich von 1250 cm⁻¹ bis 0 cm⁻¹ relativ zum 0-0-Übergang.

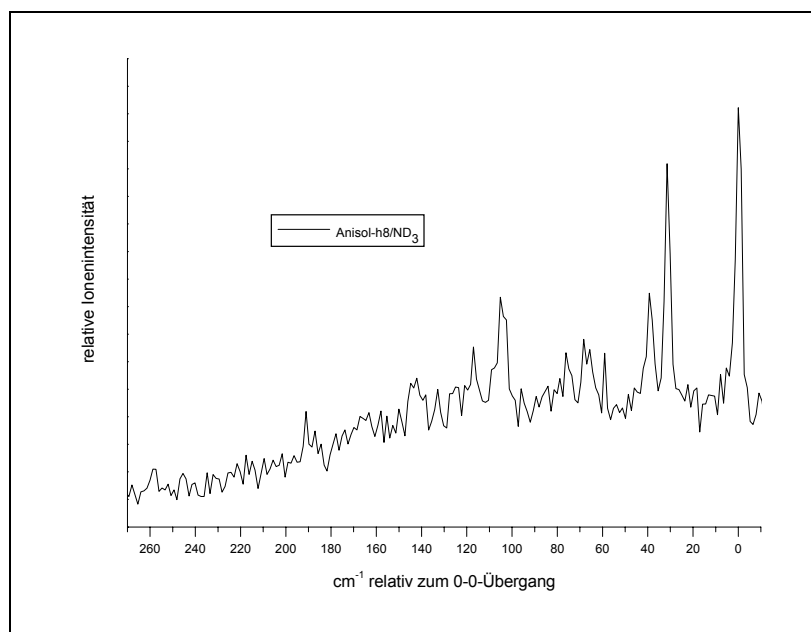


Abbildung 8-27: REMPI-Spektrum von Anisol-h8/ND₃ im Bereich von 270 cm⁻¹ bis -10 cm⁻¹ relativ zum 0-0-Übergang.

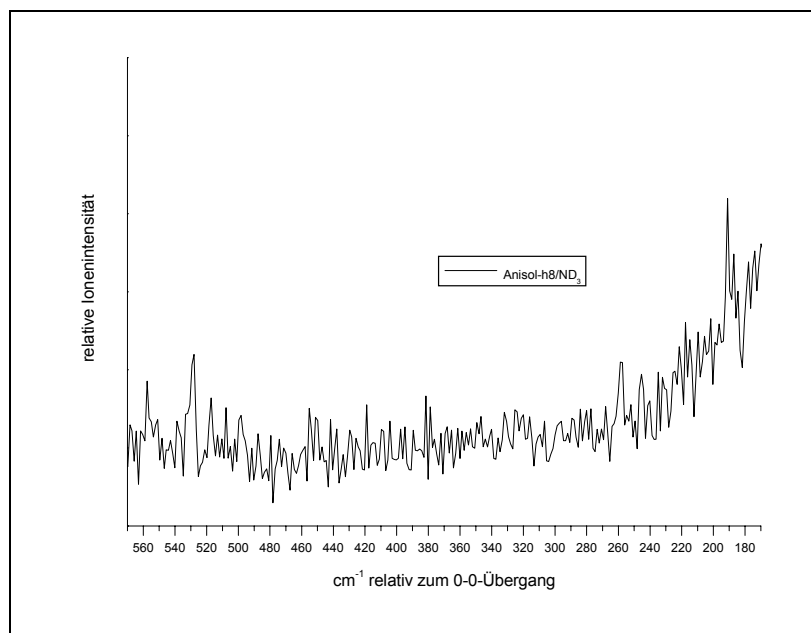


Abbildung 8-28: REMPI-Spektrum von Anisol-h8/ND₃ im Bereich von 570 cm⁻¹ bis 170 cm⁻¹ relativ zum 0-0-Übergang.

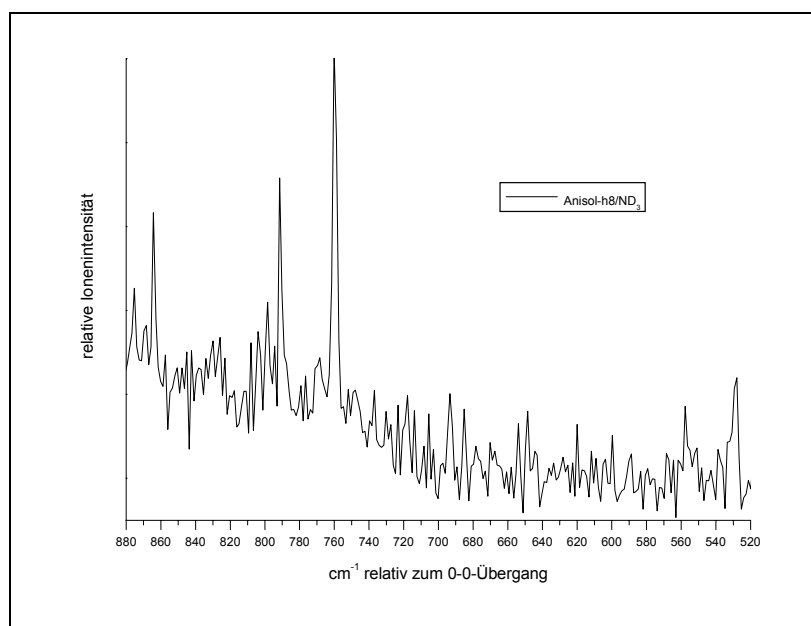


Abbildung 8-29: REMPI-Spektrum von Anisol-h8/ND₃ im Bereich von 880 cm⁻¹ bis 520 cm⁻¹ relativ zum 0-0-Übergang.

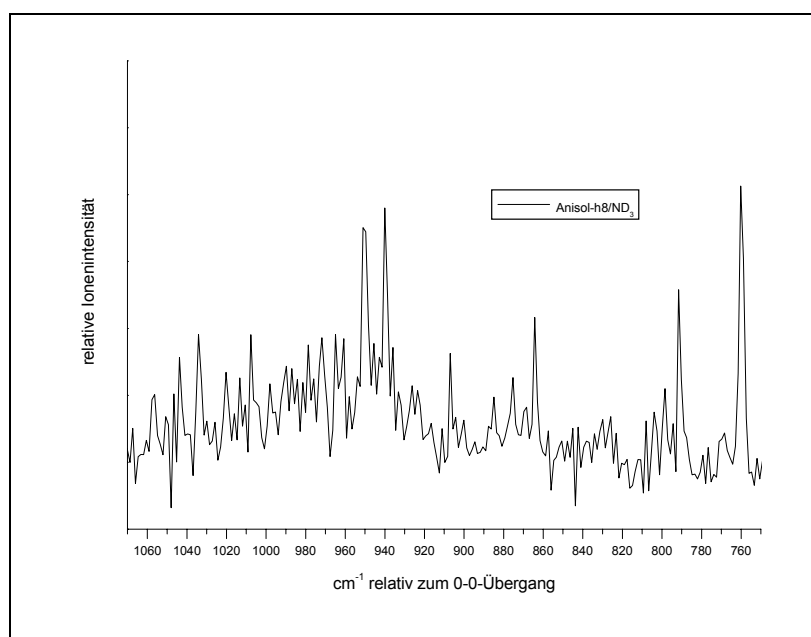


Abbildung 8-30: REMPI-Spektrum von Anisol-h8/ND₃ im Bereich von 1070 cm⁻¹ bis 750 cm⁻¹ relativ zum 0-0-Übergang.

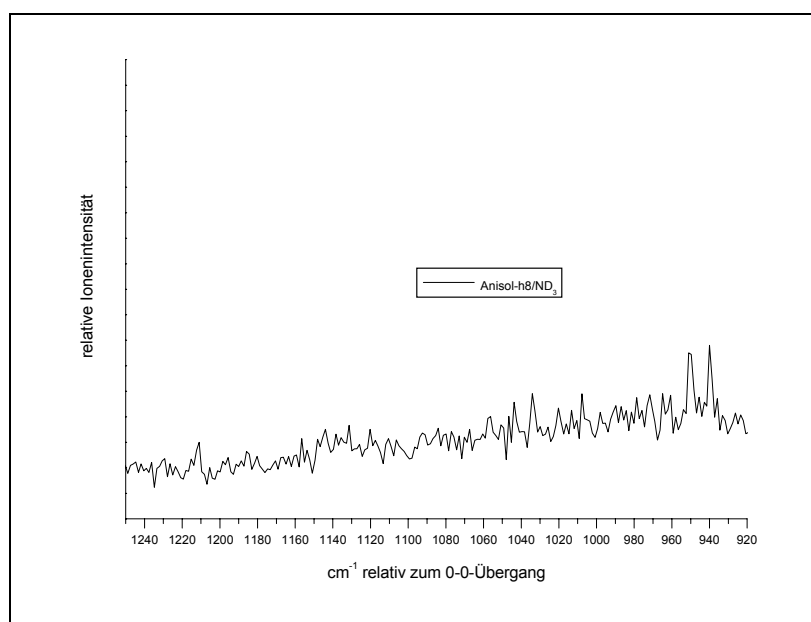


Abbildung 8-31: REMPI-Spektrum von Anisol-h8/ND₃ im Bereich von 1250 cm⁻¹ bis 920 cm⁻¹ relativ zum 0-0-Übergang.

D.6 REMPI-Spektren von Anisol-h8/Ar

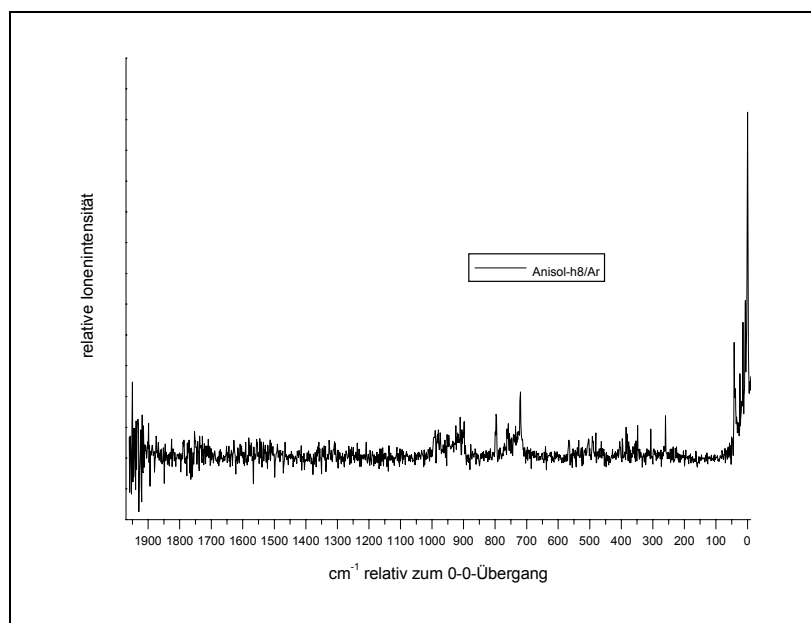


Abbildung 8-32: REMPI-Spektrum von Anisol-h8/Ar im Bereich von 1970 cm⁻¹ bis 0 cm⁻¹ relativ zum 0-0-Übergang.

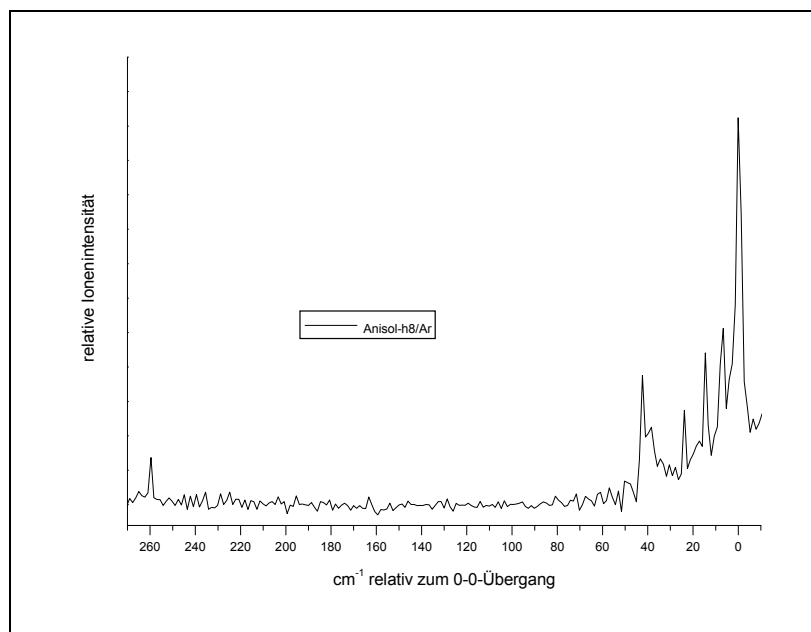


Abbildung 8-33: REMPI-Spektrum von Anisol-h8/Ar im Bereich von 270 cm⁻¹ bis -10 cm⁻¹ relativ zum 0-0-Übergang.

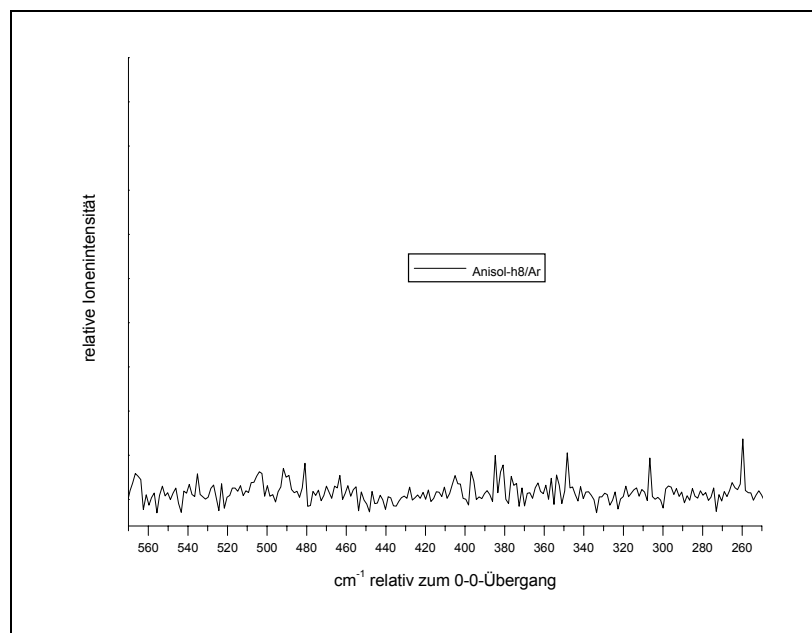


Abbildung 8-34: REMPI-Spektrum von Anisol-h8/Ar im Bereich von 570 cm⁻¹ bis 250 cm⁻¹ relativ zum 0-0-Übergang.

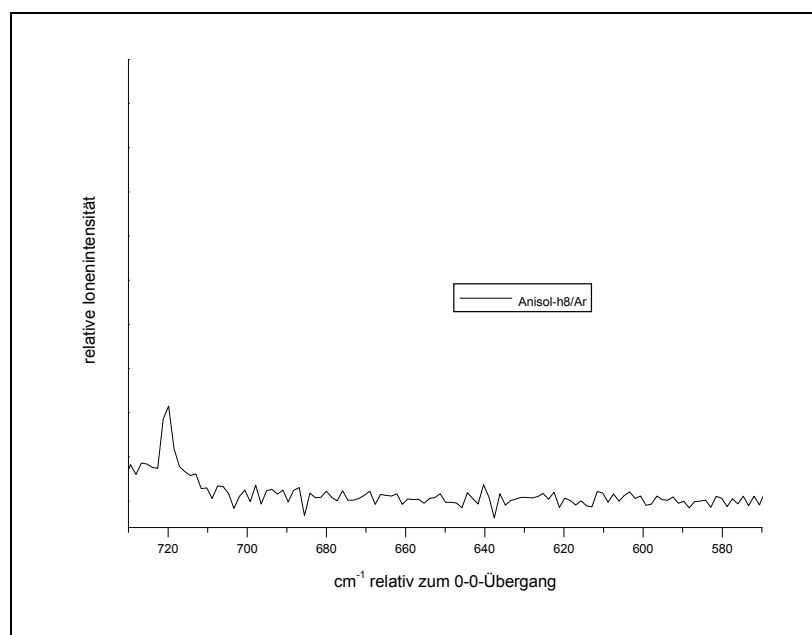


Abbildung 8-35: REMPI-Spektrum von Anisol-h8/Ar im Bereich von 730 cm⁻¹ bis 570 cm⁻¹ relativ zum 0-0-Übergang.

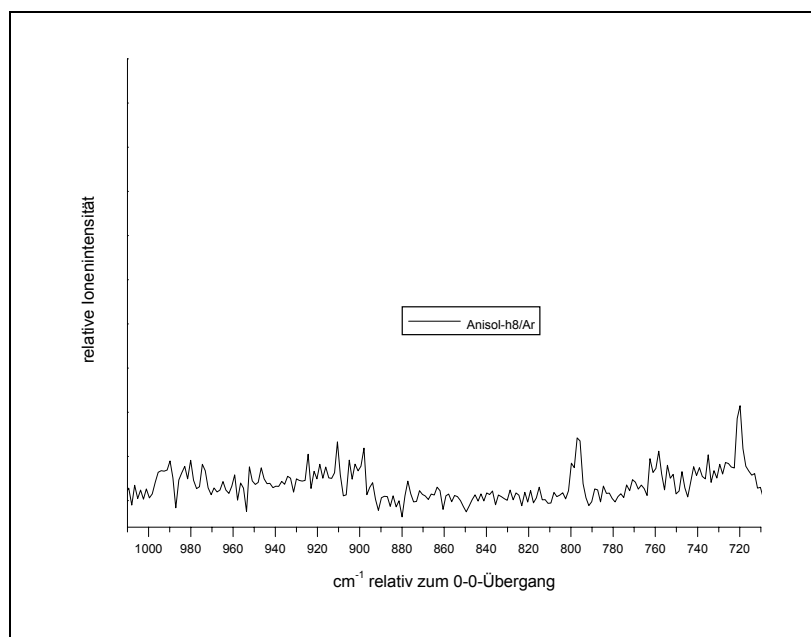


Abbildung 8-36: REMPI-Spektrum von Anisol-h8/Ar im Bereich von 1010 cm⁻¹ bis 710 cm⁻¹ relativ zum 0-0-Übergang.

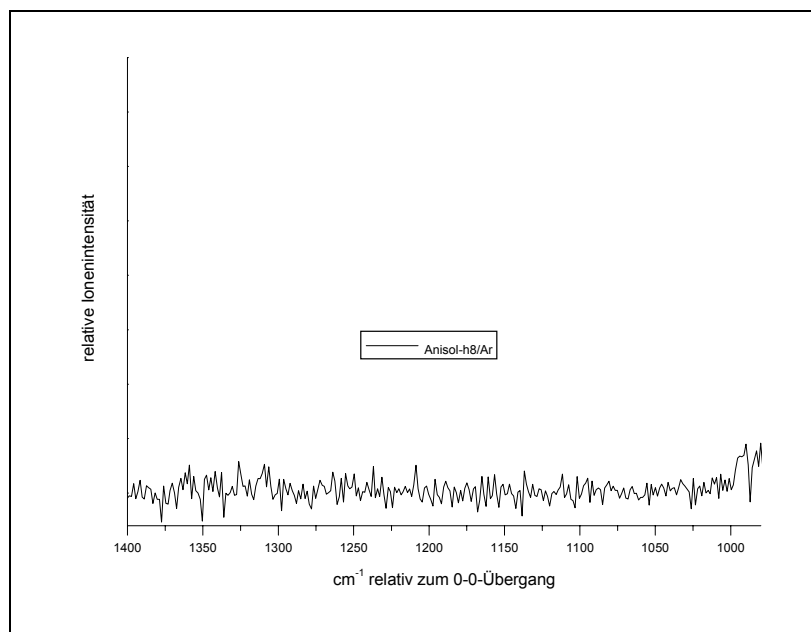


Abbildung 8-37: REMPI-Spektrum von Anisol-h8/Ar im Bereich von 1400 cm⁻¹ bis 980 cm⁻¹ relativ zum 0-0-Übergang.

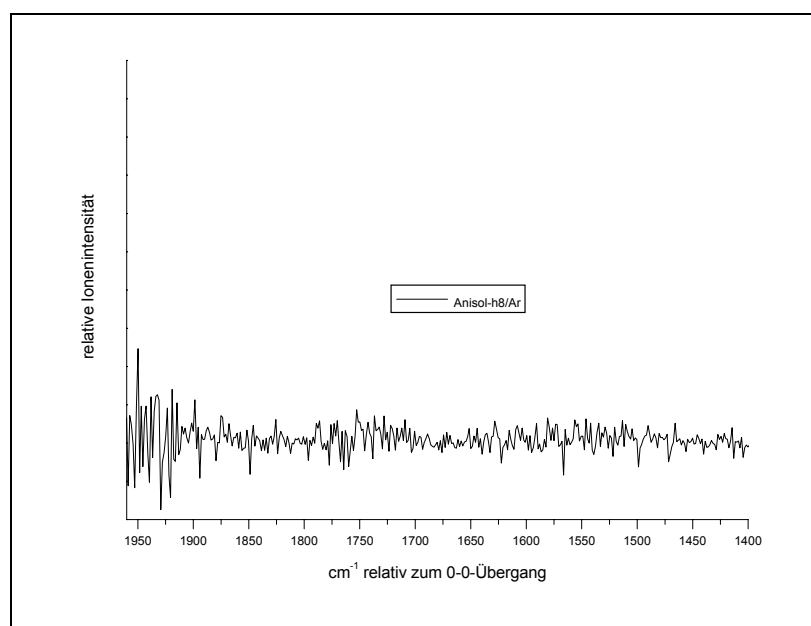


Abbildung 8-38: REMPI-Spektrum von Anisol-h8/Ar im Bereich von 1970 cm⁻¹ bis 1400 cm⁻¹ relativ zum 0-0-Übergang.

D.7 REMPI-Spektren von Anisol-h8/CO₂

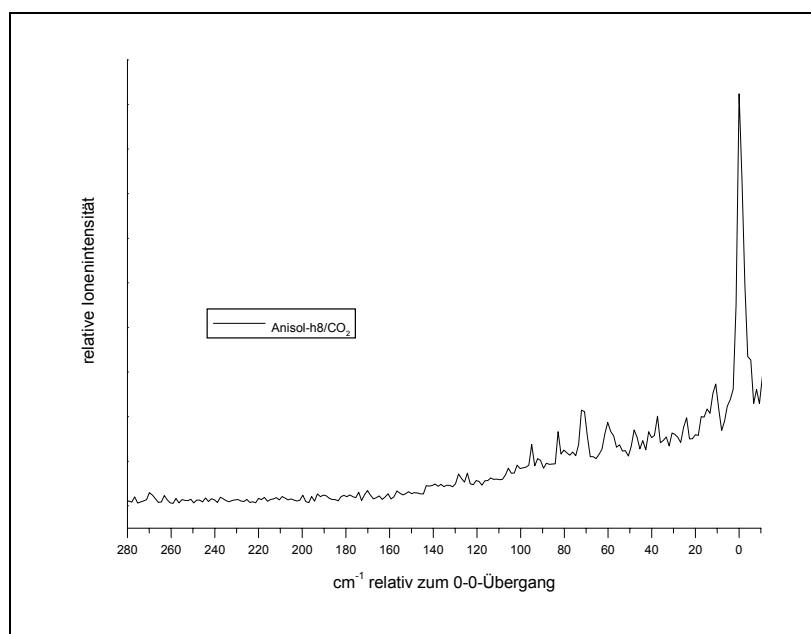


Abbildung 8-39: REMPI-Spektrum von Anisol-h8/CO₂ im Bereich von 280 cm⁻¹ bis -10 cm⁻¹ relativ zum 0-0-Übergang.

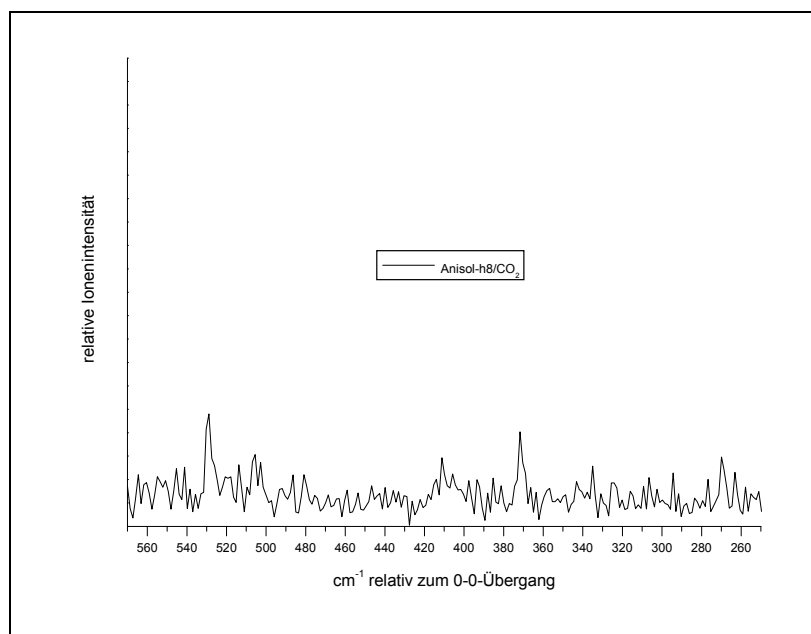


Abbildung 8-40: REMPI-Spektrum von Anisol-h8/CO₂ im Bereich von 570 cm⁻¹ bis 250 cm⁻¹ relativ zum 0-0-Übergang.

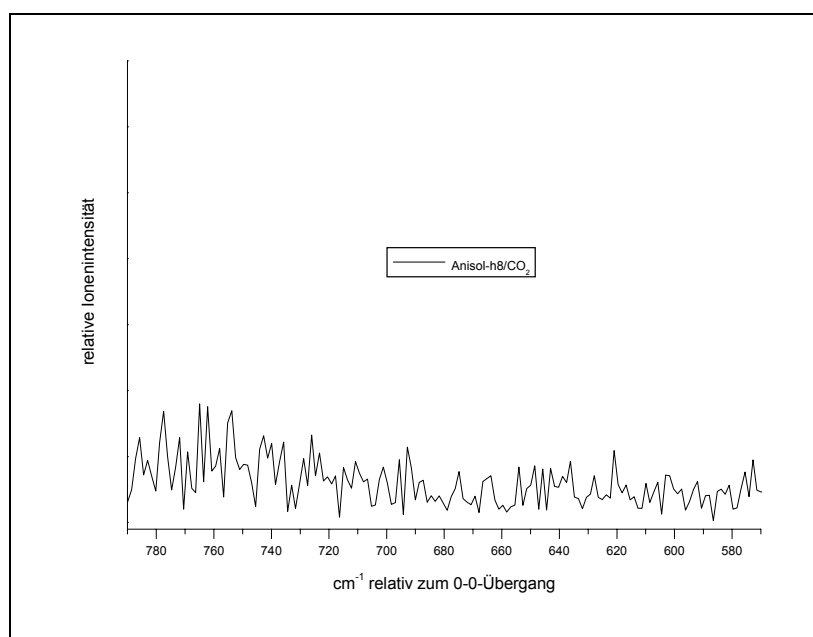


Abbildung 8-41: REMPI-Spektrum von Anisol-h8/CO₂ im Bereich von 790 cm⁻¹ bis 570 cm⁻¹ relativ zum 0-0-Übergang.

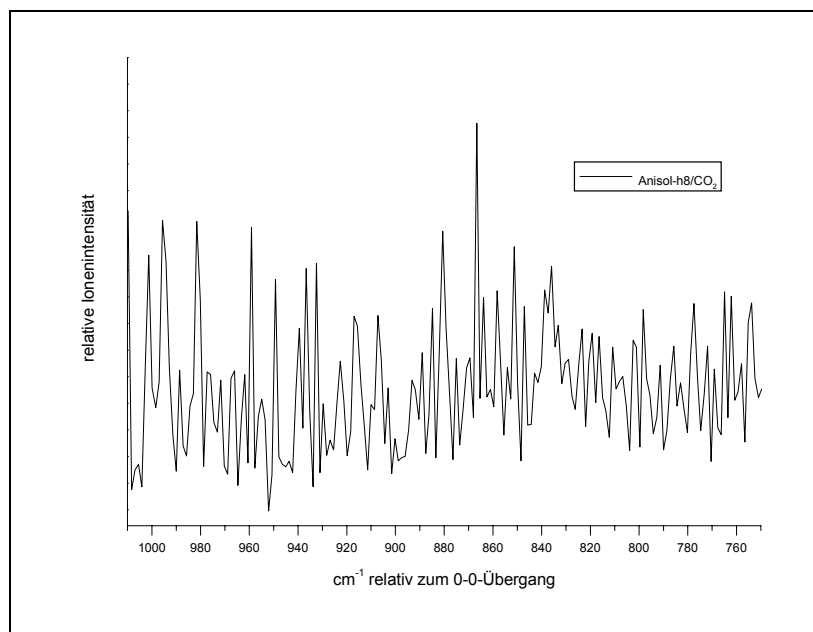


Abbildung 8-42: REMPI-Spektrum von Anisol-h8/CO₂ im Bereich von 1010 cm⁻¹ bis 750 cm⁻¹ relativ zum 0-0-Übergang.

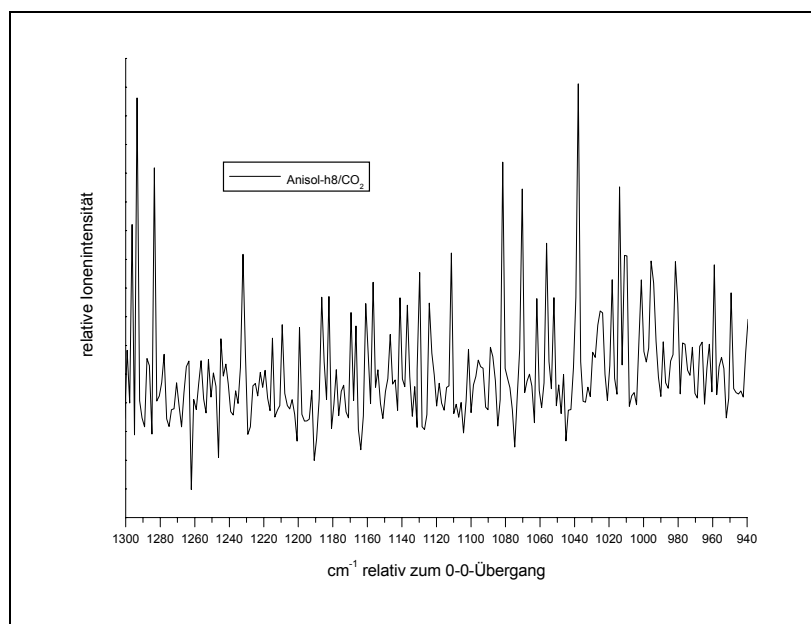


Abbildung 8-43: REMPI-Spektrum von Anisol-h8/CO₂ im Bereich von 1300 cm⁻¹ bis 940 cm⁻¹ relativ zum 0-0-Übergang.

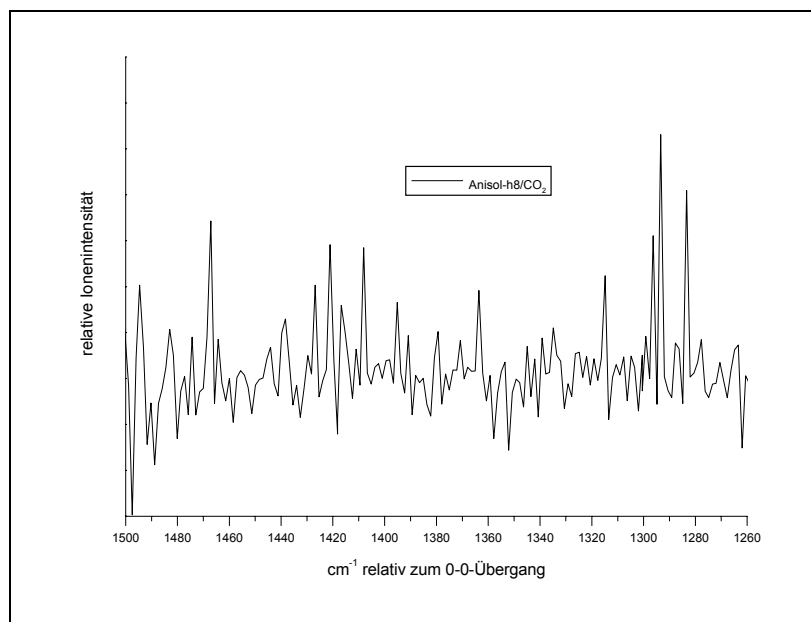


Abbildung 8-44: REMPI-Spektrum von Anisol-h8/CO₂ im Bereich von 1500 cm⁻¹ bis 1260 cm⁻¹ relativ zum 0-0-Übergang.